

SESQUITERPENOS DE SEMENTES DE *Guarea guidonia* (MELIACEAE)

Luzinátia Ramos Soares

Departamento de Química, Universidade Federal de Mato Grosso do Sul, CP 549, 79070-900 Campo Grande – MS / Universidade Estadual de Mato Grosso do Sul, Unidade Universitária de Coxim, 79400-000 Coxim – MS, Brasil

Alene Cortes de Queiroz e Silva, Talita Vilalva Freire, Fernanda Rodrigues Garcez e Walmir Silva Garcez*

Departamento de Química, Universidade Federal de Mato Grosso do Sul, CP 549, 79070-900 Campo Grande – MS, Brasil

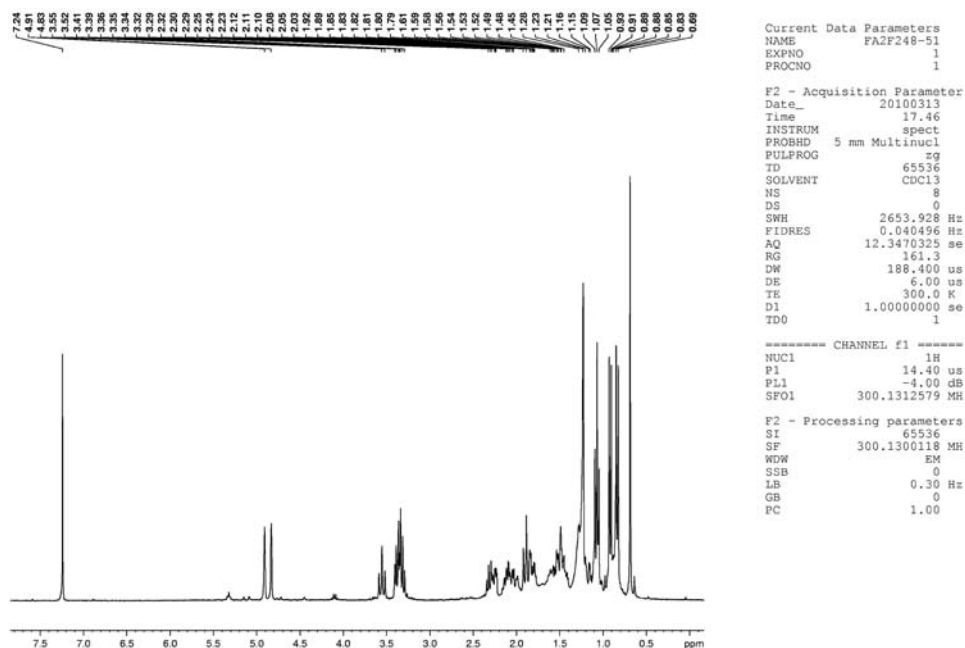


Figura 1S. RMN ¹H (300 MHz, CDCl₃) do composto **1** [6 α -etoxieudesm-4(15)-en-1 β -ol]

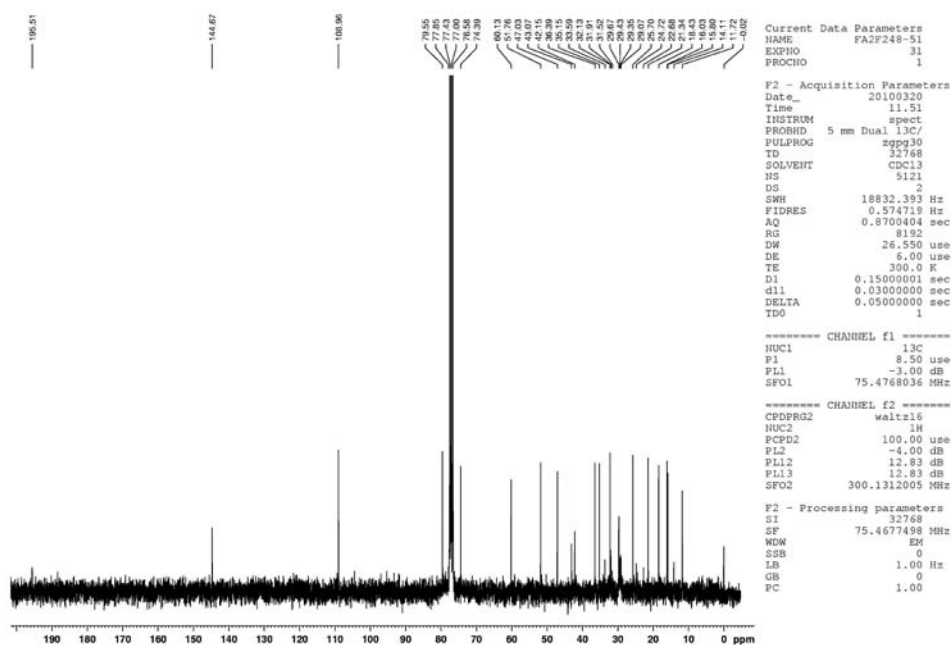


Figura 2S. RMN ¹³C (75 MHz, CDCl₃) do composto **1** [6 α -etoxieudesm-4(15)-en-1 β -ol]

*e-mail: walmir.garcez@ufms.br

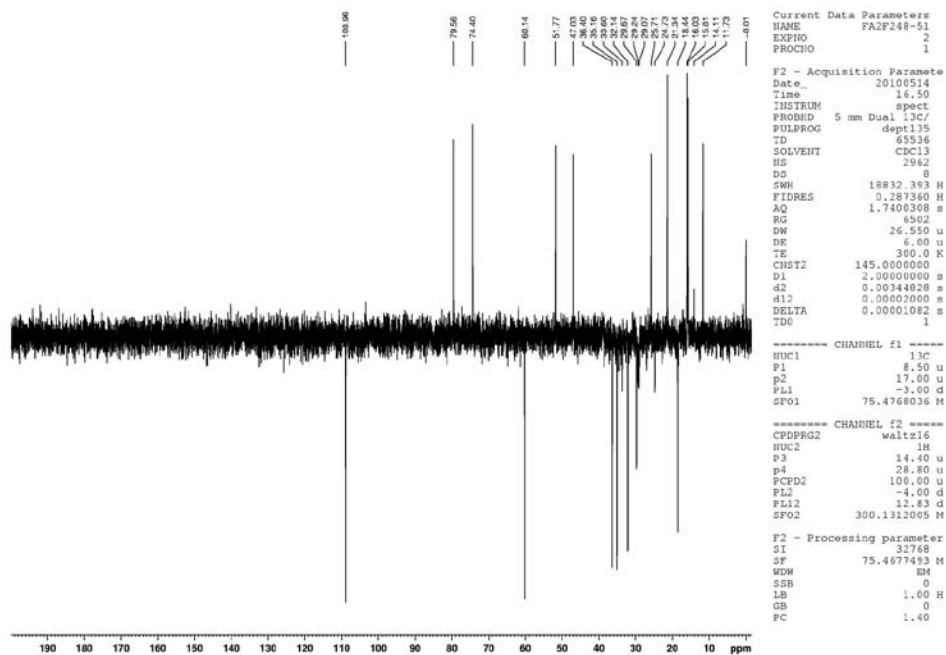


Figura 3S. DEPT 135° (75 MHz, CDCl₃) do composto **1** [6 α -etoxieudesm-4(15)-en-1 β -ol]

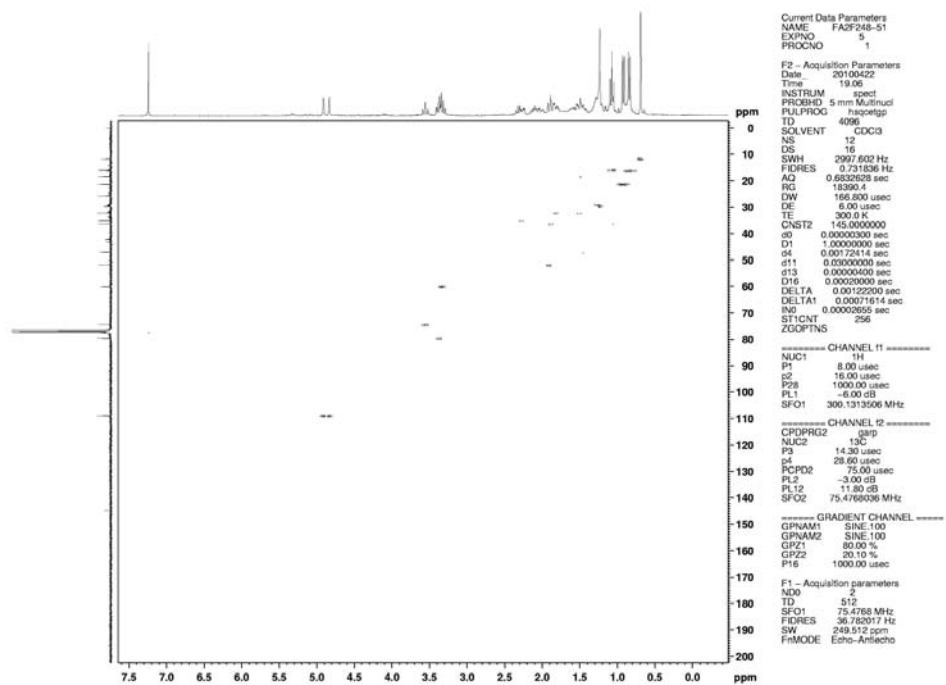


Figura 4S. HSQC (300/75 MHz, CDCl₃) do composto **1** [6 α -etoxieudesm-4(15)-en-1 β -ol]

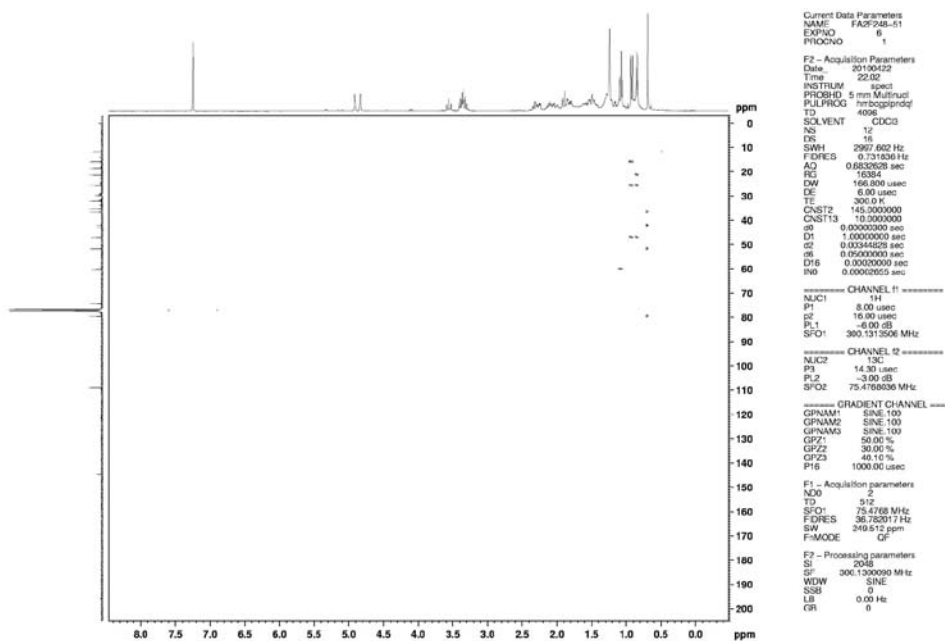


Figura 5S. HMBC (300/75 MHz, CDCl₃) do composto 1 [6 α -etoxiuedsm-4(15)-en-1 β -ol]

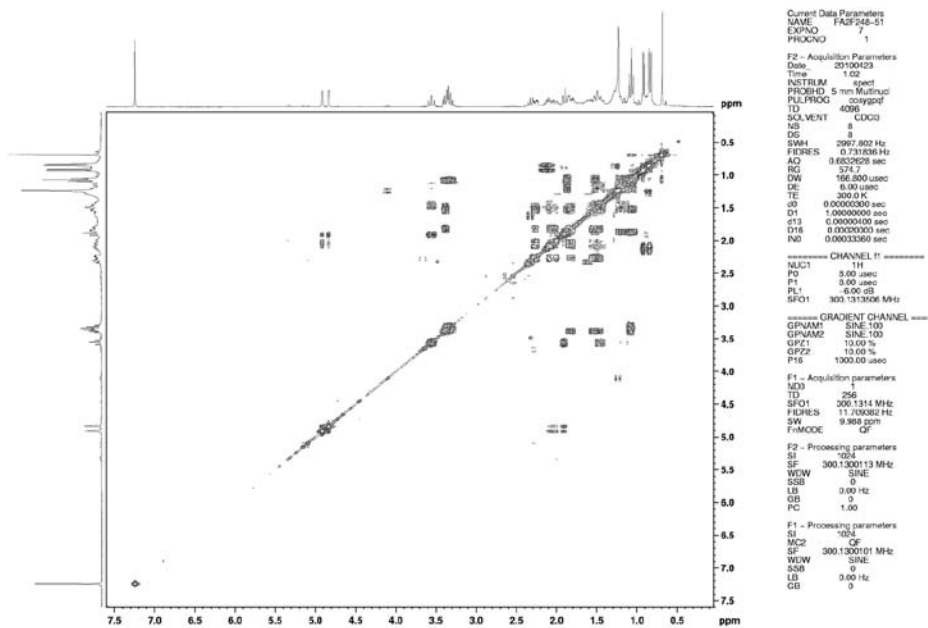


Figura 6S. COSY ¹H-¹H (300 MHz, CDCl₃) do composto 1 [6 α -etoxiuedsm-4(15)-en-1 β -ol]

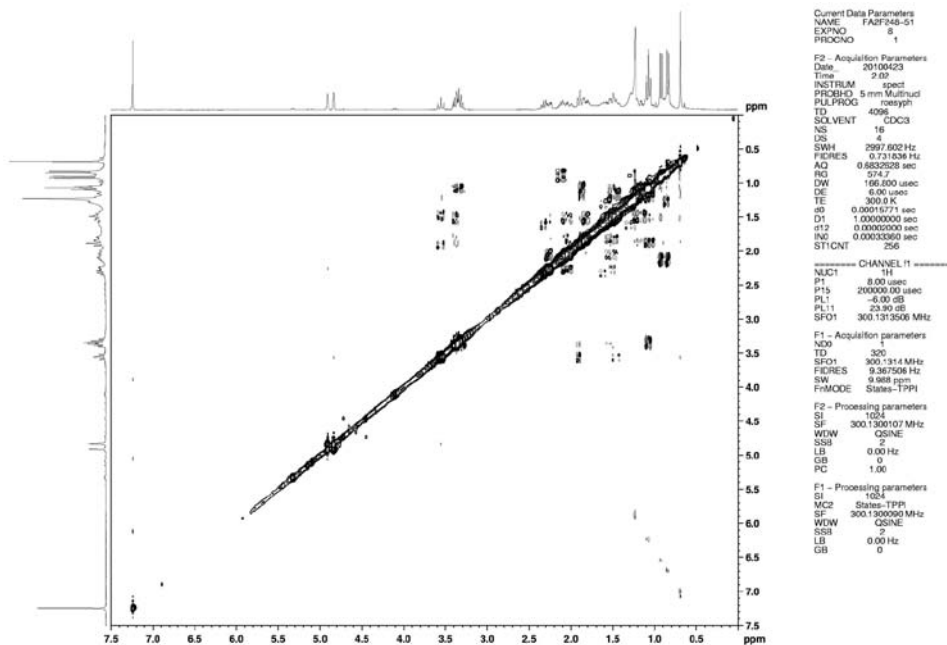


Figura 7S. NOESY (300 MHz, $CDCl_3$) do composto **1** [6 α -etoixiedesm-4(15)-en-1 β -ol]

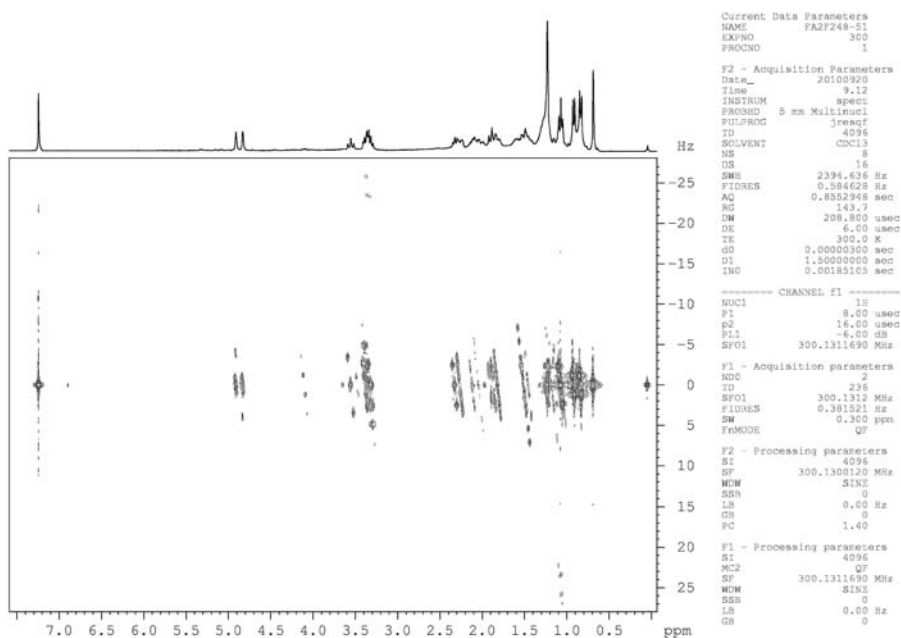


Figura 8S. J-resolved 1H - 1H (300 MHz, $CDCl_3$) do composto **1** [6 α -etoixiedesm-4(15)-en-1 β -ol]

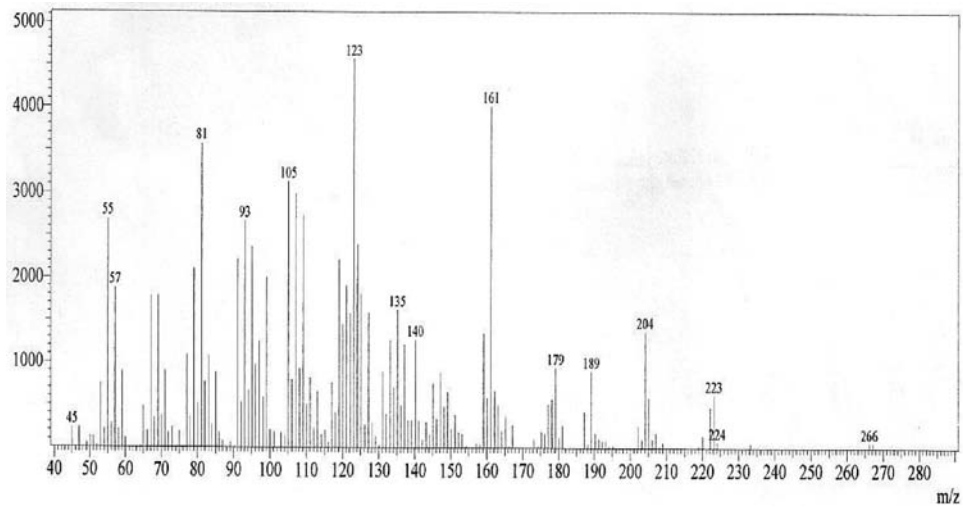


Figura 9S. Espectro de massas (IE-70eV) do composto 1 [6 α -etoxieudesm-4(15)-en-1 β -ol]

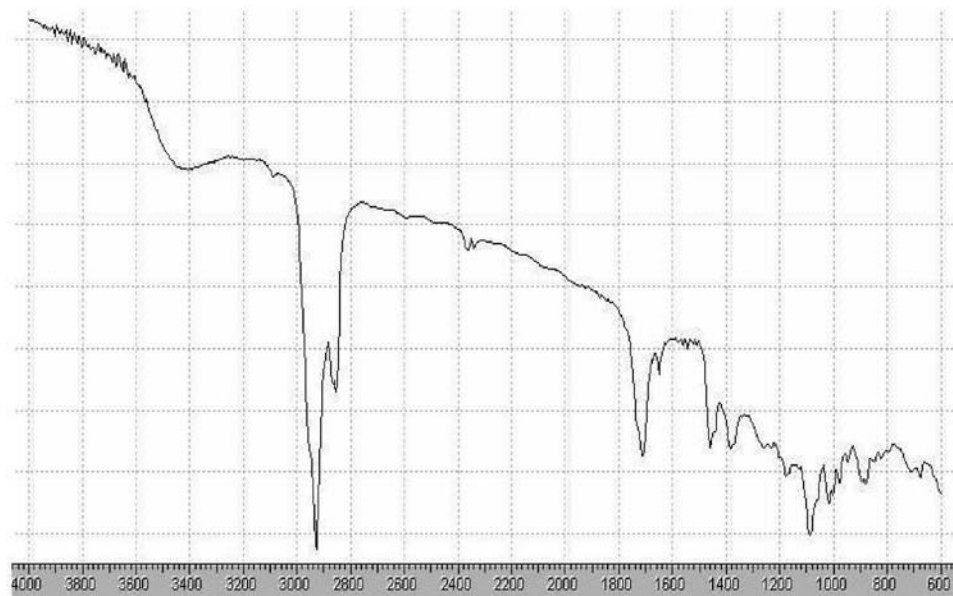


Figura 10S. Espectro de infravermelho (FT) do composto 1 [6 α -etoxieudesm-4(15)-en-1 β -ol]

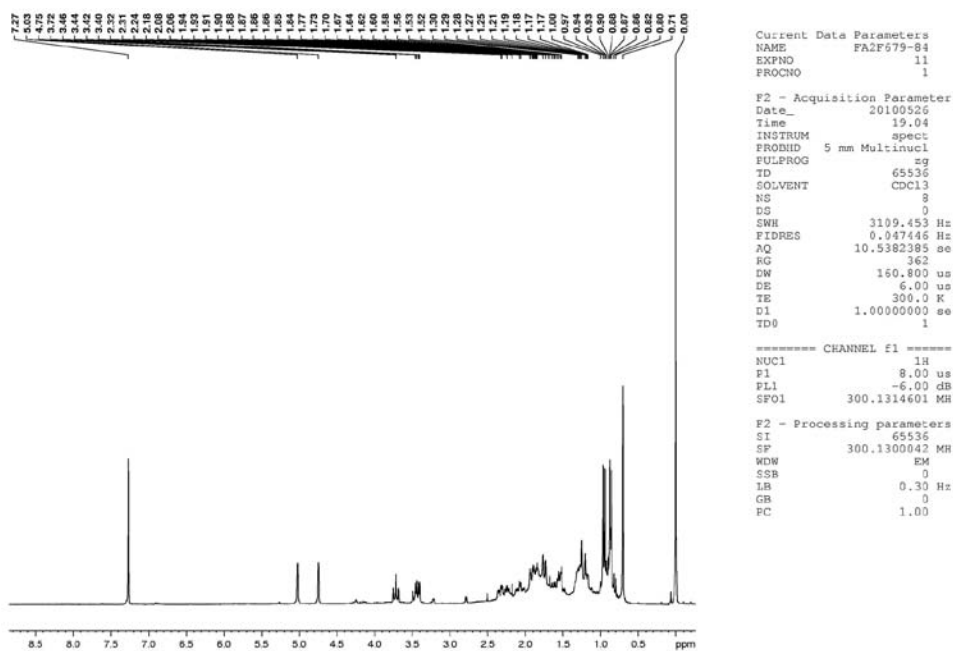


Figura 11S. RMN ^1H (300 MHz, CDCl_3) do composto **2** [eudesm-4(15)-eno-1 β ,6 α -diol]

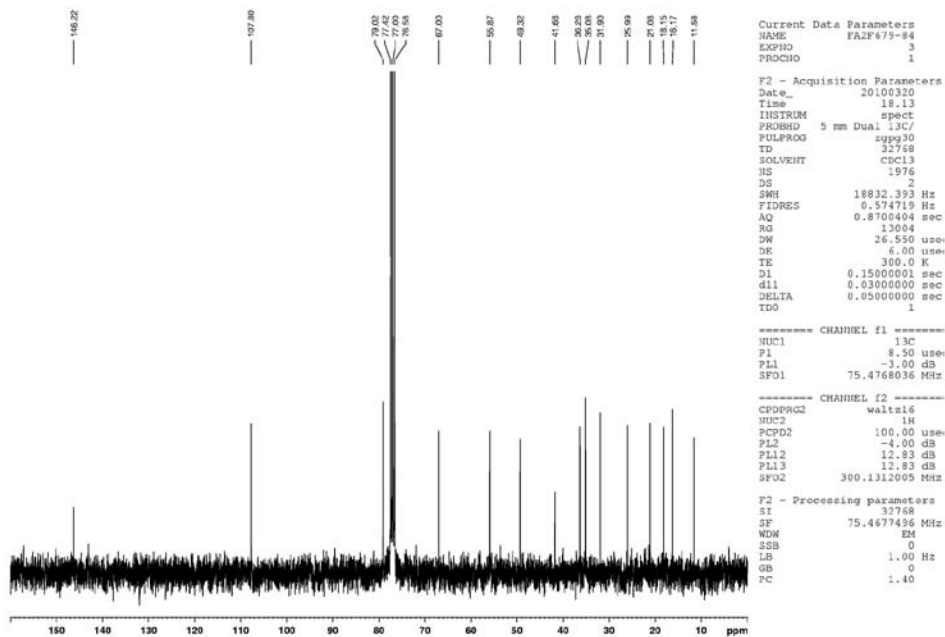


Figura 12S. RMN ^{13}C (75 MHz, CDCl_3) do composto **2** [eudesm-4(15)-eno-1 β ,6 α -diol]

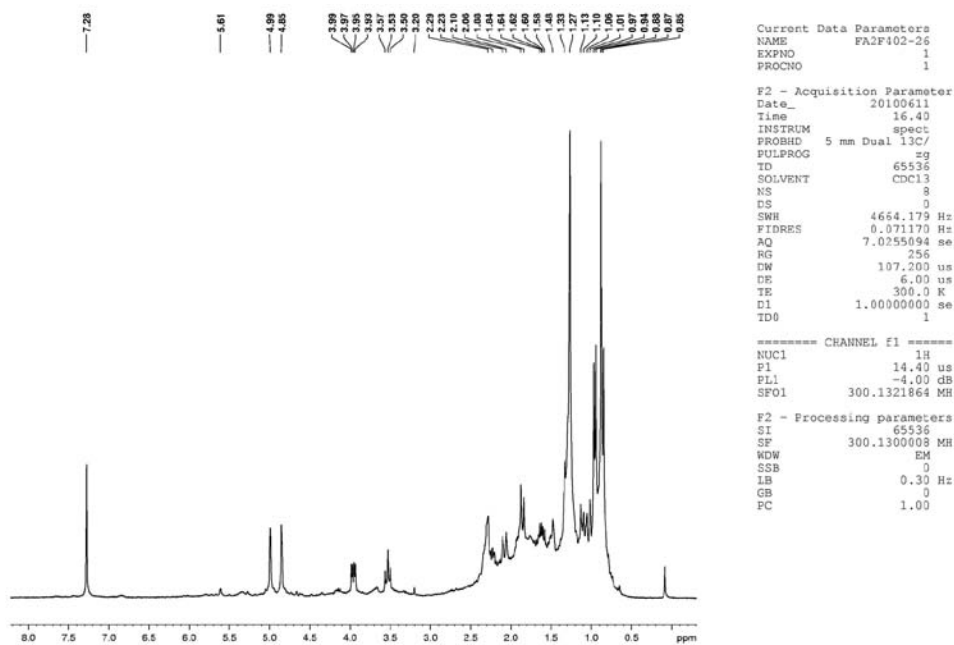


Figura 13S. RMN ^1H (300 MHz, CDCl_3) do composto **3** [5-*epi-eudesm*-4(15)-*eno*-1 β ,6 β -diol]

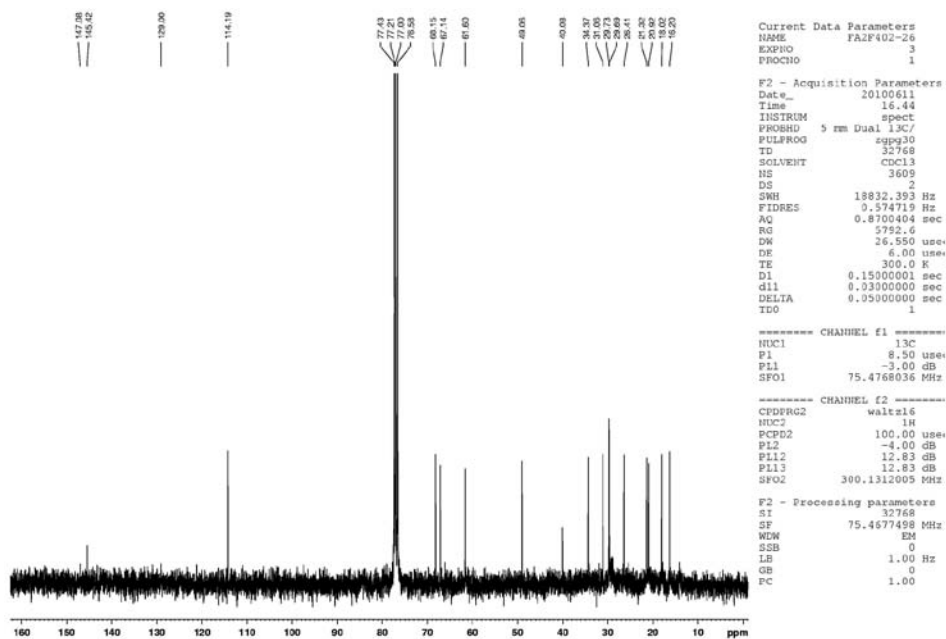


Figura 14S. RMN ^{13}C (75 MHz, CDCl_3) do composto **3** [5-*epi-eudesm*-4(15)-*eno*-1 β ,6 β -diol]

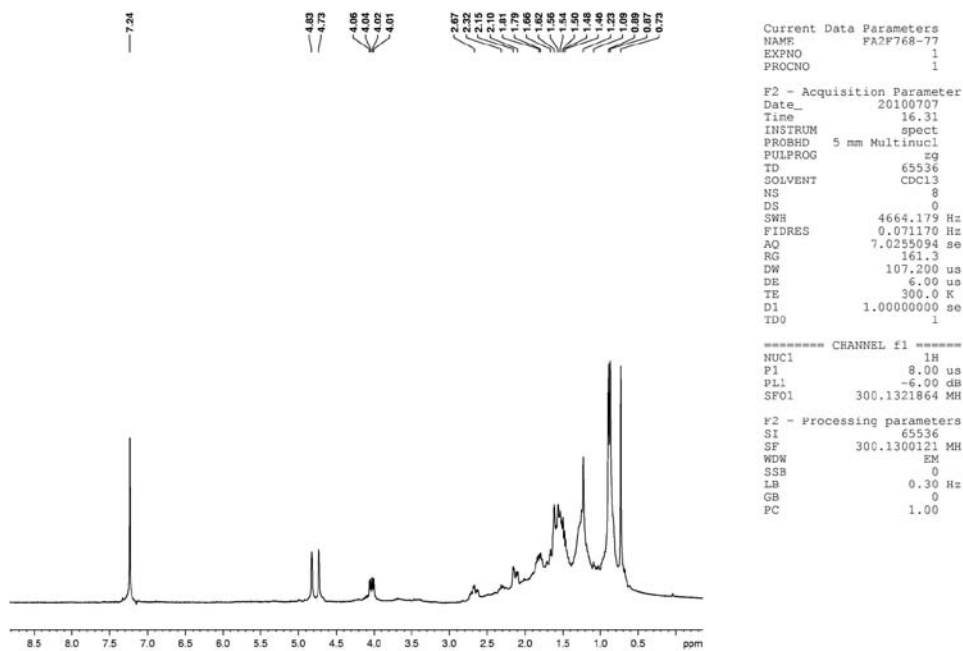


Figura 15S. RMN ^1H (300 MHz, CDCl_3) do composto **4** [eudesm-4(15)-eno-1 β ,5 α -diol]

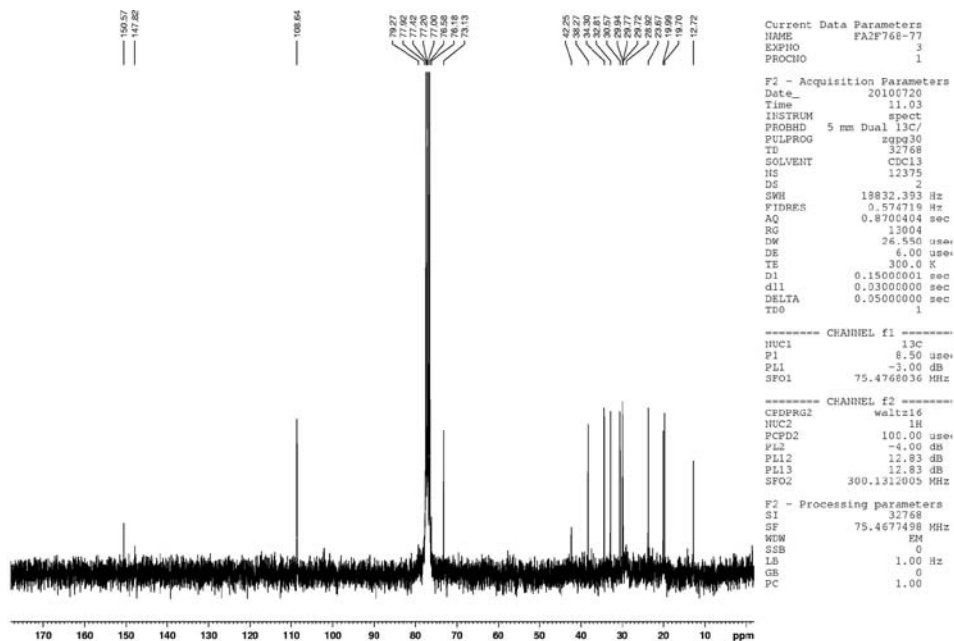
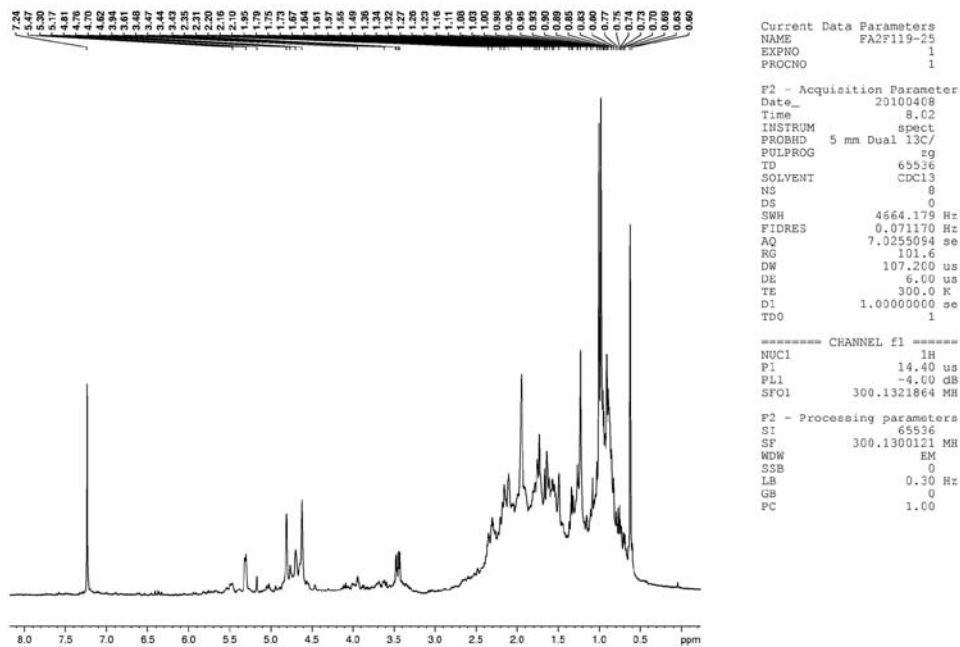
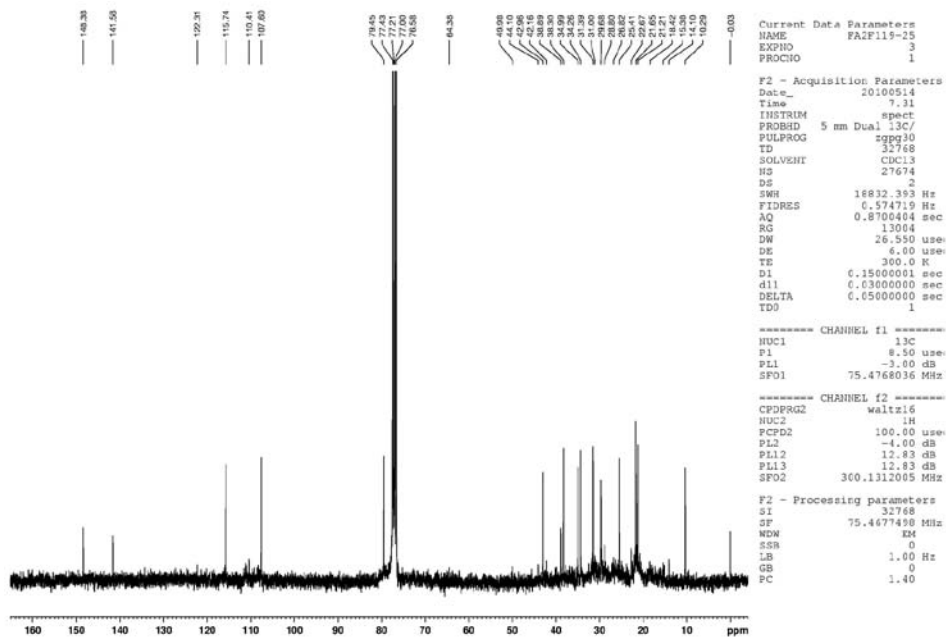


Figura 16S. RMN ^{13}C (75 MHz, CDCl_3) do composto **4** [eudesm-4(15)-eno-1 β ,5 α -diol]

Figura 17S. RMN ^1H (300 MHz, CDCl_3) do composto **5** [eudesm-4(15),7-dien-1 β -ol]Figura 18S. RMN ^{13}C (75 MHz, CDCl_3) do composto **5** [eudesm-4(15),7-dien-1 β -ol]

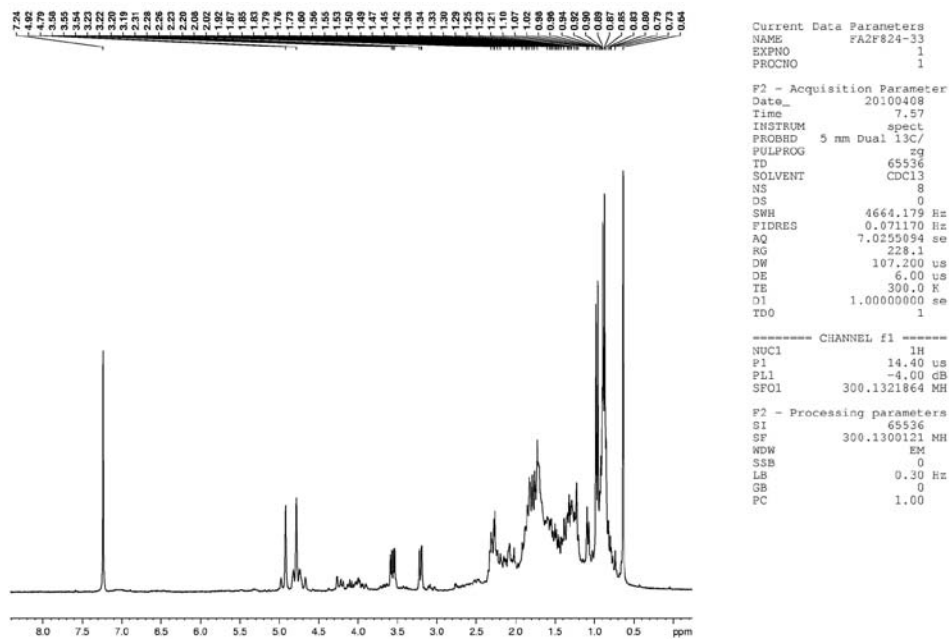


Figura 19S. RMN ^1H (300 MHz, CDCl_3) do composto **6** [(7R*)-oposit-4(15)-eno-1 β ,7-diol]

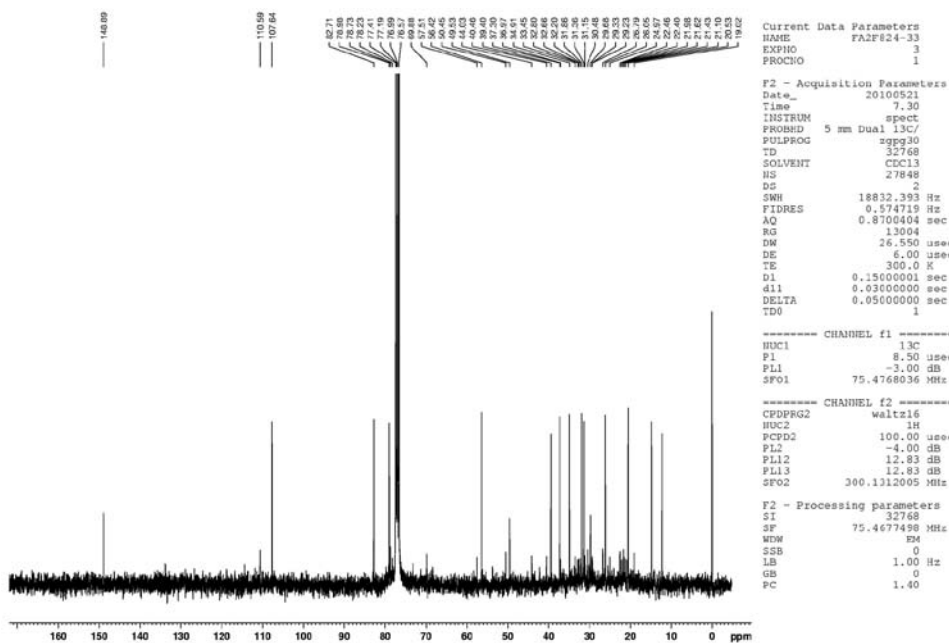


Figura 20S. RMN ^{13}C (75 MHz, CDCl_3) do composto **6** [(7R*)-oposit-4(15)-eno-1 β ,7-diol]

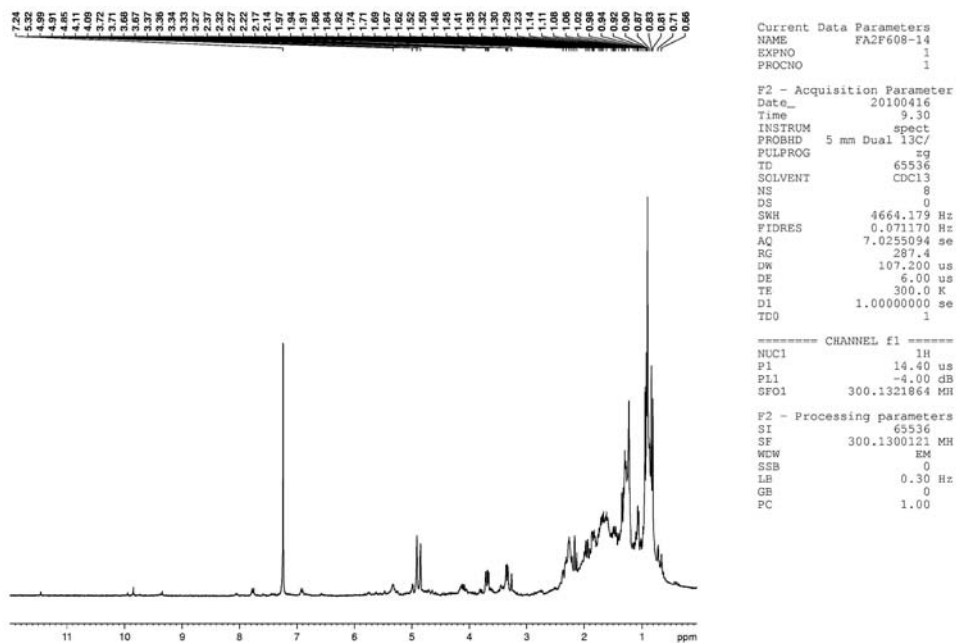


Figura 21S. RMN ^1H (300 MHz, CDCl_3) do composto **7** [(7R*)-5-epi-*o*-posit-4(15)-*e*-no-1 β ,7-diol]

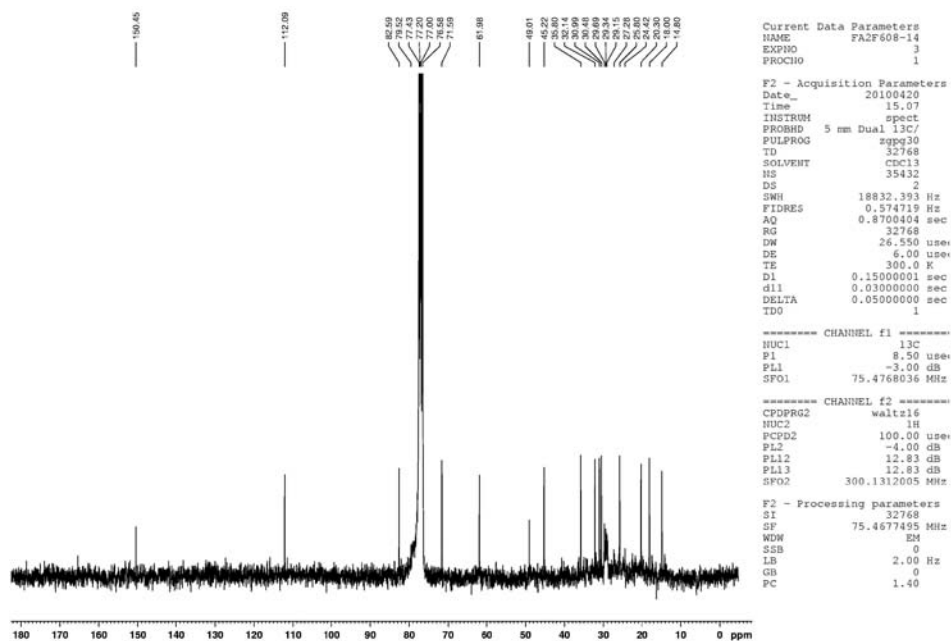


Figura 22S. RMN ^{13}C (75 MHz, CDCl_3) do composto **7** [(7R*)-5-epi-*o*-posit-4(15)-*e*-no-1 β ,7-diol]

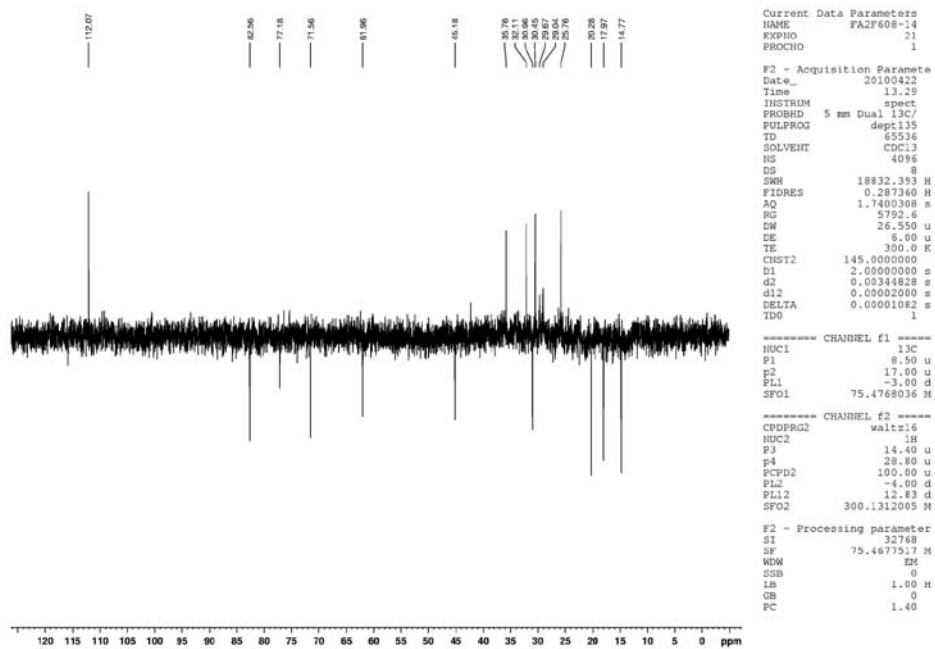


Figura 23S. DEPT 135° (75 MHz, CDCl₃) do composto 7 [(7R*)-5-epi-*o*-posit-4(15)-*eno*-1 β ,7-diol]

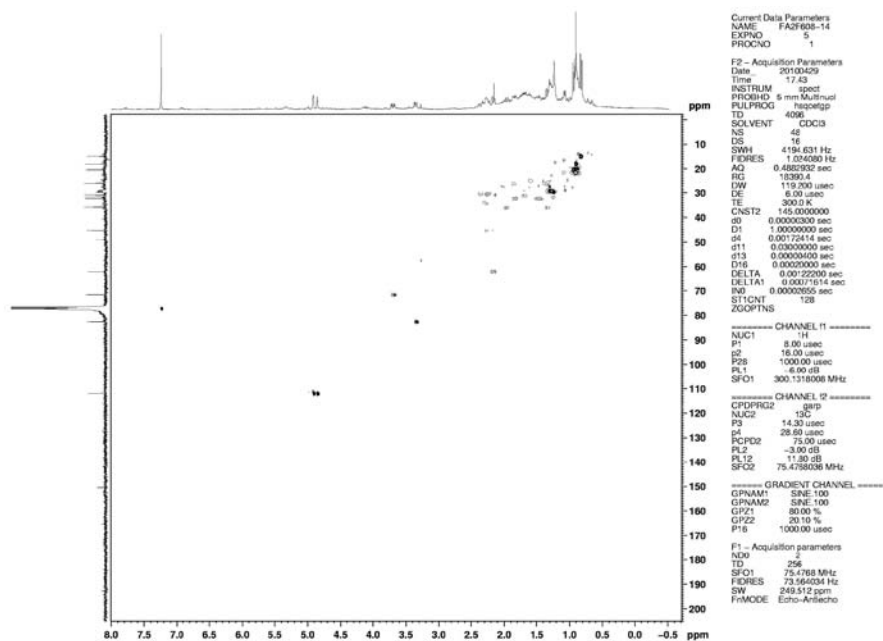


Figura 24S. HSQC (300/75 MHz, CDCl₃) do composto 7 [(7R*)-5-epi-*o*-posit-4(15)-*eno*-1 β ,7-diol]

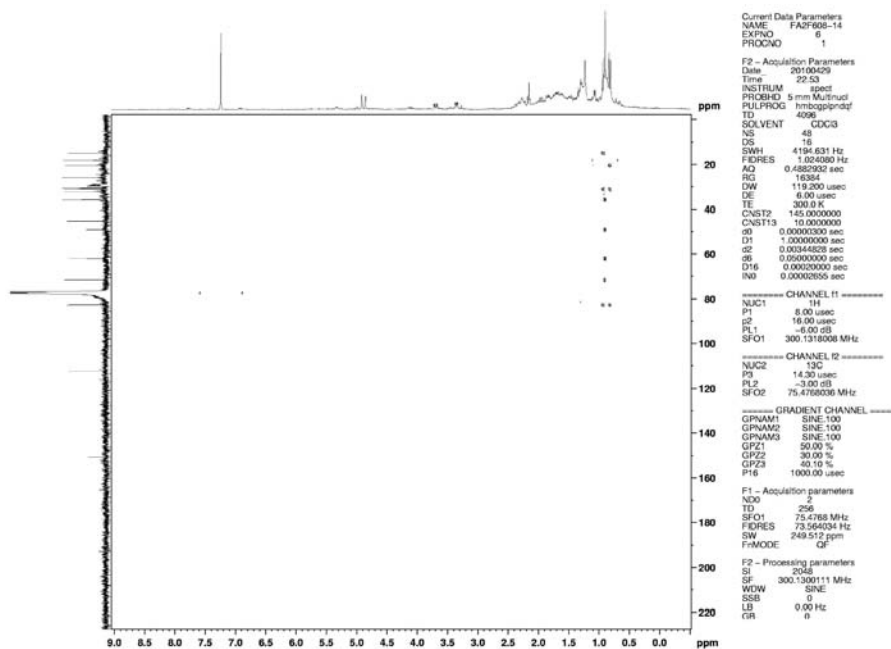


Figura 25S. HMBC (300/75 MHz, CDCl₃) do composto 7 [(7R*)-5-epi-posit-4(15)-eno-1β,7-diol]

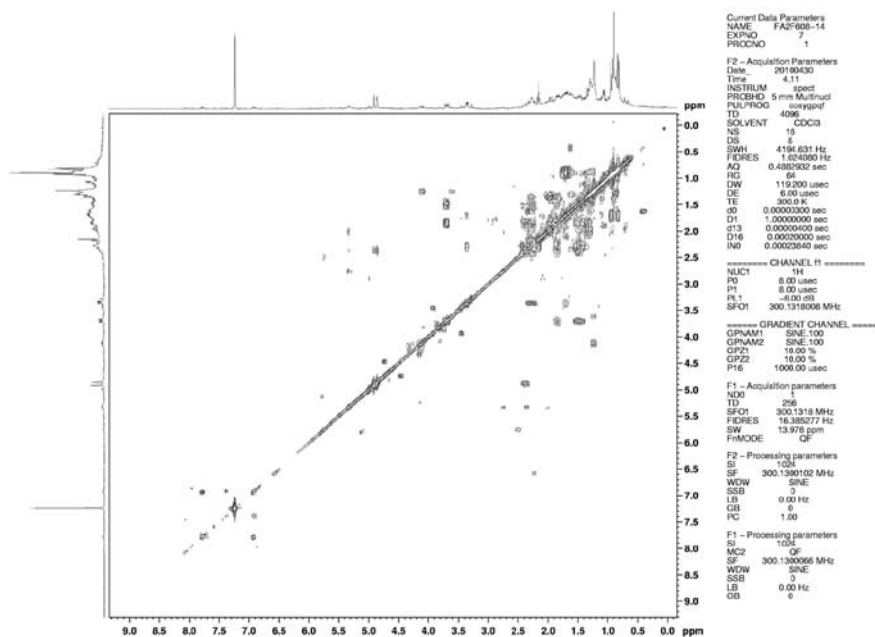


Figura 26S. COSY ¹H-¹H (300 MHz, CDCl₃) do composto 7 [(7R*)-5-epi-posit-4(15)-eno-1β,7-diol]

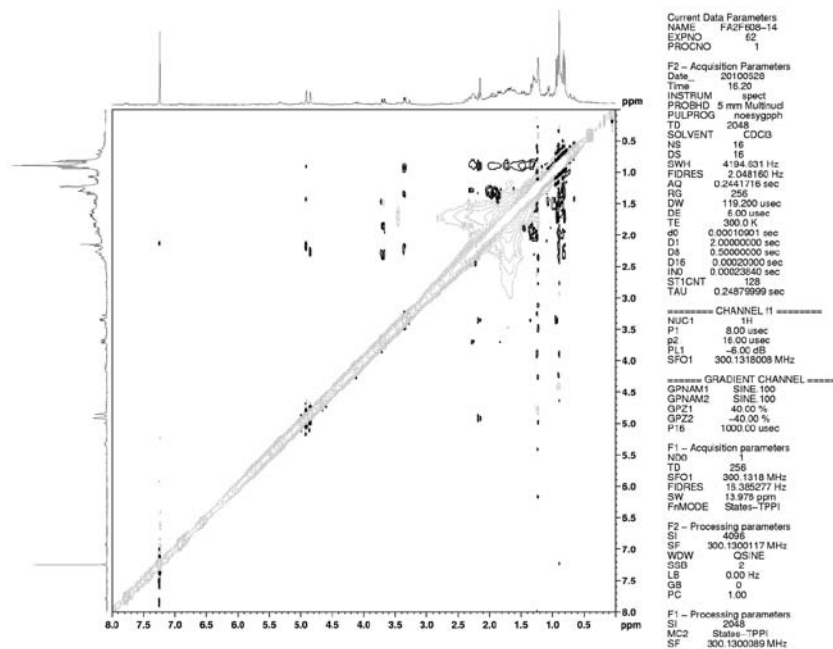


Figura 27S. NOESY ^1H - ^1H (300 MHz, CDCl_3) do composto **7** [(7R*)-5-epi-*o*-posit-4(15)-*eno*-1 β ,7-diol]

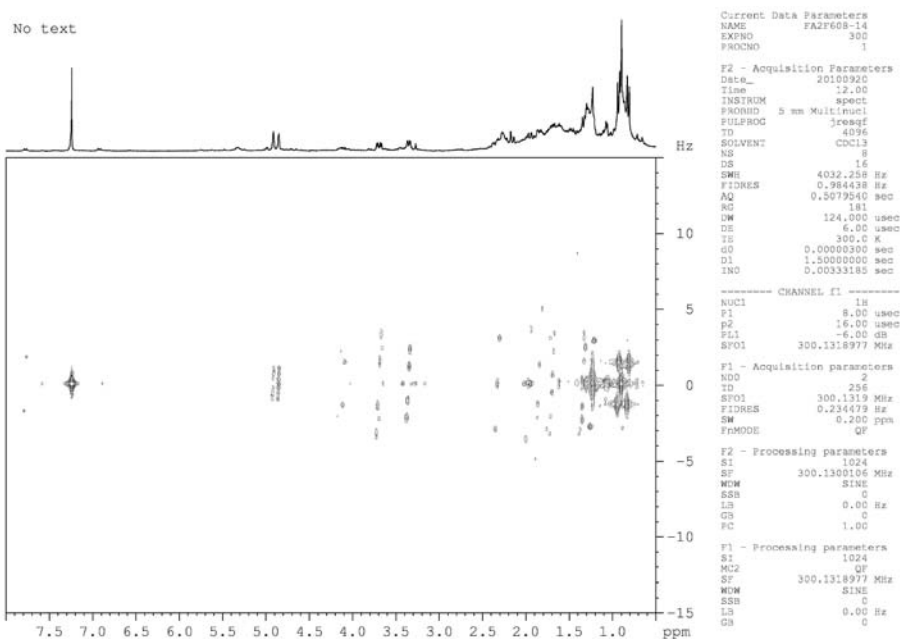


Figura 28S. J-resolved ^1H - ^1H (300 MHz, CDCl_3) do composto **7** [(7R*)-5-epi-*o*-posit-4(15)-*eno*-1 β ,7-diol]

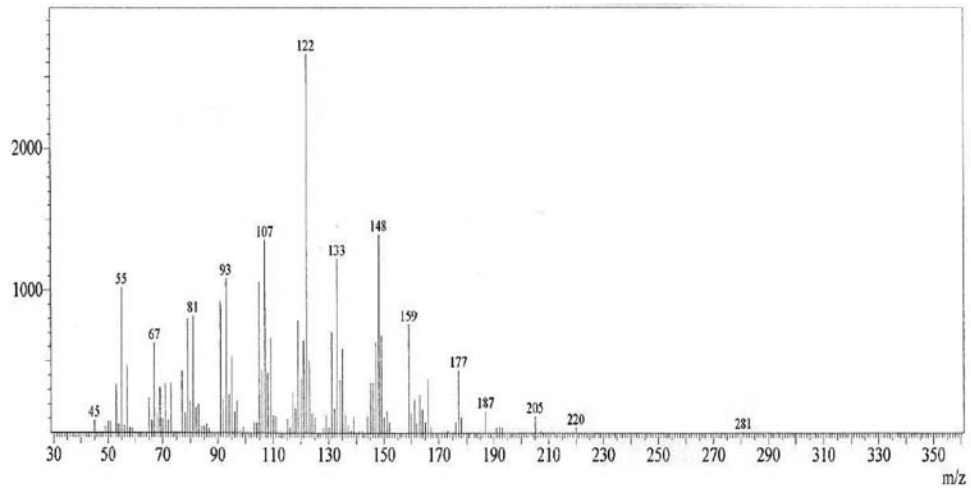


Figura 29S. Espectro de massas (IE-70eV) do composto 7 [(7R*)-5-epi-posit-4(15)-eno-1β,7-diol]

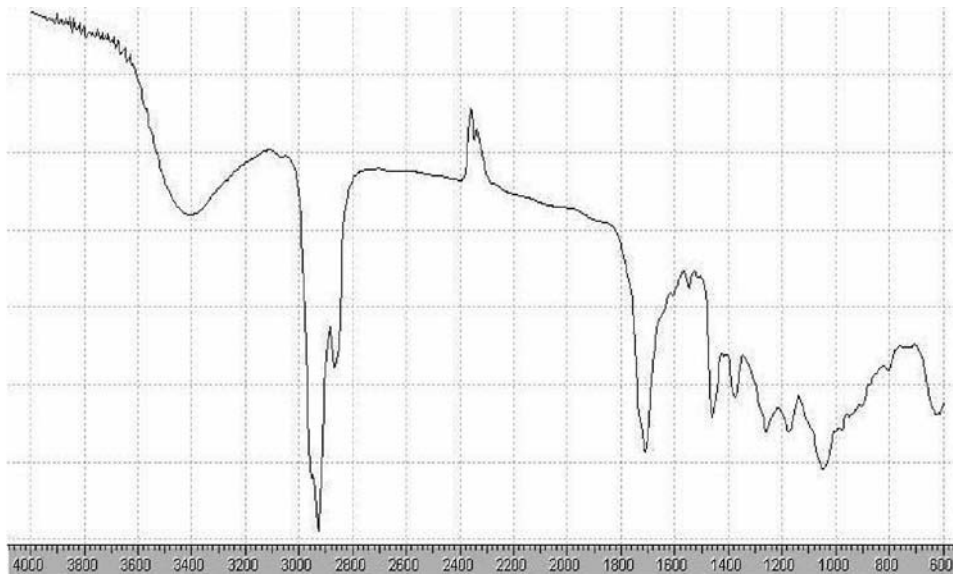


Figura 30S. Espectro de infravermelho (FT) do composto 7 [(7R*)-5-epi-posit-4(15)-eno-1β,7-diol]